

# XIAP 基因与耐紫杉醇卵巢癌细胞 A2780/Taxol 耐药关系的研究\*

岳 驰<sup>1,2</sup>, 李冉红<sup>3</sup>, 陈 晨<sup>1,2</sup>, 刘 辉<sup>1,2△</sup>

1. 四川大学华西第二医院 妇产科(成都 610041); 2. 出生缺陷与相关妇儿疾病教育部重点实验室(四川大学)(成都 610041);

3. 河南省人民医院 妇产科(郑州 450003)

**【摘要】 目的** 探讨 X 连锁凋亡抑制蛋白(XIAP)基因与卵巢癌对紫杉醇耐药的相关性。方法 以 5、10、20、40、80、160、320 ng/mL 的紫杉醇处理卵巢癌紫杉醇敏感细胞 A2780 和耐药细胞 A2780/T, 噻唑蓝(MTT)比色法检测各组细胞的抑制率(IR), 逆转录实时荧光定量 PCR(RT-qPCR)、蛋白质印记(Western blot)检测紫杉醇 100 ng/mL 处理 A2780 和 A2780/T 细胞后 XIAP 基因和蛋白的表达; 将 A2780/T 细胞分为空转染组(转染空载体质粒)、小干扰 RNA(siRNA)-XIAP(siRNA-XIAP)组(转染 siRNA-XIAP 质粒)、非特异性转染组(转染非特异性质粒)、空白对照组(不转染质粒), RT-qPCR 和 Western blot 检测各组细胞 XIAP 基因和蛋白的表达, 并加入含不同质量浓度的紫杉醇(0、1 000、1 500、2 000、2 500 ng/mL), 流式细胞仪检测细胞凋亡率。结果 不同质量浓度紫杉醇处理后, A2780 细胞 IR 随紫杉醇质量浓度的增加而增高( $P < 0.05$ ), A2780/T 细胞 IR 无明显变化。紫杉醇 100 ng/mL 处理 A2780 和 A2780/T 细胞后, A2780 细胞 XIAP mRNA 的表达低于紫杉醇未处理组( $P < 0.05$ ), A2780/T 细胞中 XIAP mRNA 的表达与紫杉醇未处理组差异无统计学意义( $P > 0.05$ ), 但 A2780/T 细胞 XIAP mRNA 和蛋白表达均高于 A2780 紫杉醇处理组( $P$  均 $< 0.05$ ); siRNA-XIAP 组 XIAP mRNA 和蛋白的表达均低于其他各组( $P < 0.05$ ), 在紫杉醇 2 000 ng/mL 及 2 500 ng/mL 作用下, siRNA-XIAP 组凋亡率高于其他各组( $P < 0.05$ )。结论 卵巢癌对紫杉醇耐药与 XIAP 基因的高表达有关, 特异性的 siRNA 可通过降低 XIAP 的表达, 促进细胞凋亡, 增加耐药癌细胞对紫杉醇的敏感性。

**【关键词】** XIAP 卵巢癌 紫杉醇 化疗药物耐药 siRNA

**Study on the Relationship Between XIAP Gene and Resistance of Taxol in Ovarian Cancer** YUE Chi<sup>1,2</sup>, LI Ran-hong<sup>3</sup>, CHEN Chen<sup>1,2</sup>, LIU Hui<sup>1,2△</sup>. 1. Department of Obstetrics and Gynecology, West China Second University Hospital, Sichuan University, Chengdu 610041, China; 2. Key Laboratory of Birth Defects and Related Disease of Women and Children (Sichuan University), Ministry of Education, Chengdu 610041, China; 3. Department of Obstetrics and Gynecology, the People's Hospital of Henan Province, Zhengzhou 450003, China

△ Corresponding author, E-mail: lh666888@163.com

**【Abstract】 Objective** To research the expression of X-linked inhibitor of apoptosis protein gene (XIAP) on paclitaxel resistance in ovarian cancer. **Methods** A2780 and A2780/T cells were treated with paclitaxel respectively at the concentrations of 5 ng/mL, 10 ng/mL, 20 ng/mL, 40 ng/mL, 80 ng/mL, 160 ng/mL, 320 ng/mL, then the inhibition rate of cells were detected by MTT assay. The expression of XIAP mRNA and protein among the A2780 and A2780/T cells treated respectively with paclitaxel at the concentration of 100 ng/mL was detected by reverse transcription quantitative real-time polymerase chain reaction (RT-qPCR) and Western blot. The A2780/T cells were divided into blank group, empty group, small interfering RNA (siRNA) XIAP group and siRNA-non-specific group. The expression of XIAP mRNA and protein of four groups were detected by RT-qPCR and Western blot. Apoptotic rate of these groups with addition of paclitaxel at the concentrations of 0 ng/mL, 1 000 ng/mL, 1 500 ng/mL, 2 000 ng/mL and 2 500 ng/mL were detected by flow cytometry. **Results** After the treatments on A2780 and A2780/T cells with the different concentrations of paclitaxel, the inhibition rate of A2780 cells were gradually increased with the increased paclitaxel concentrations ( $P < 0.05$ ), while there were no obvious differences in A2780/T cells ( $P > 0.05$ ). After the treatment on these cells with paclitaxel at the concentration of 100 ng/mL, the expression of XIAP mRNA was lower than that non-treatment with paclitaxel in A2780 cells ( $P < 0.05$ ), and the expression of XIAP mRNA in the A2780/T cells were no statistical significance between the treatment group and

\* 四川省科技厅科技支撑计划项目(No. 2013FZ0058)资助

△ 通信作者, E-mail: lh666888@163.com

non-treatment group with paclitaxel ( $P > 0.05$ ). However, the expression of A2780/T cells' XIAP mRNA and protein treated with paclitaxel were higher than A2780 cells' ( $P < 0.05$ ). The expression of XIAP mRNA and protein in siRNA-XIAP group was lower than those of other groups ( $P < 0.05$ ). The apoptotic rate of siRNA-XIAP group was higher than those of other groups treated with the paclitaxel at concentrations of 2 000 ng/mL and 2 500 ng/mL ( $P < 0.05$ ). **Conclusion** XIAP's high expression on mRNA and protein was correlated with ovarian cancer paclitaxel-resistance, specific siRNA can promote cell apoptosis by reducing the expression of XIAP, and increase the sensitivity of drug-resistant cancer cells to paclitaxel.

**【Key words】** XIAP Ovarian cancer Paclitaxel Chemoresistance siRNA

卵巢癌是女性生殖器官常见的恶性肿瘤之一<sup>[1]</sup>,死亡率居于妇科肿瘤的首位。临幊上,一线治疗方案为以手术为主、术后根据患者自身情况辅以紫杉醇和铂类联合化疗。大多数患者(80%)初治反应良好,但是几乎所有的患者都会出现卵巢癌的复发,化疗药物耐药<sup>[2]</sup>,最终导致患者死亡。X 连锁凋亡抑制蛋白(XIAP),目前被认为是凋亡抑制因子(IAPs)家族中作用最强的内源性凋亡抑制蛋白,位于 X 染色体 q24-25,其编码蛋白有两个特征性的结构域,即氨基端的 3 个杆状病毒 IAP 重复序列结构(BIRD)及羧基端环状锌指结构域。BIR2 可以竞争性结合 caspase-3 的底物结合位点,BIR3 可特异性结合活化 caspase-9,即凋亡通路始动者,从而无法激活下游 caspase,最终阻断细胞凋亡<sup>[3]</sup>。XIAP 环状锌指结构具有 E3 泛素连接酶活性,可连接并泛素化 caspase,介导其连接体在溶解酶体内降解,降低细胞的凋亡敏感度。XIAP 可以直接作用于 caspase-9 抑制凋亡反应的执行相,抑或通过抑制 caspase-3、caspase-7,进而抑制其初始相来抑制细胞凋亡,引起肿瘤对化疗药物的耐药,可能是卵巢癌耐药的直接原因<sup>[4]</sup>。RNA 干扰技术是基因沉默的一种方式,它可以作用于肿瘤组织中异常信号通路上高表达的关键基因,达到序列特异性基因的沉默,是肿瘤个体化基因治疗的热点研究方向。

目前对卵巢癌术后化疗药物耐药的研究较多的是关于铂类药物耐药,而对于紫杉醇(TAX)耐药的研究较少,因此,本研究旨在以 XIAP 基因着手,并运用小干扰 RNA(siRNA)技术<sup>[5]</sup>,研究 XIAP 与卵巢癌紫杉醇耐药的相关性。

## 1 材料与方法

### 1.1 细胞与主要试剂

人卵巢癌细胞株 A2780、人卵巢癌紫杉醇耐药细胞株 A2780/Taxol(A2780/T)、 $\beta$ -actin Primer 购自上海美轩生物科技有限公司;紫杉醇粉末、MTT 细胞增殖及细胞毒性检测试剂盒、BCA 蛋白浓度测

定试剂盒、SDS-PAGE 凝胶快速配置试剂盒、PVDF 膜、超敏 ECL 化学发光试剂盒购自碧云天;TRIzol 试剂购自康为世纪公司;GoScript™ Reverse Transcription System、GoTaq® qPCR Master Mix RPMI 购自 Promega 公司;兔抗人 XIAP 抗体、鼠抗人  $\beta$ -actin 抗体购自 Abcam 公司;封闭用脱脂奶粉购自上海如吉生物技术发展有限公司;RPMI1640 培养基购自 Corning 公司;胎牛血清(FBS)购自 ScienceII 公司,脂质体 Lipo2000 购自 Gibco 公司;空载体质粒、siRNA-XIAP 质粒、非特异性质粒构建自上海吉玛制药技术有限公司。

### 1.2 细胞培养

分别将 A2780 和 A2780/T 细胞置于 RPMI 1640 完全培养基(含 10% FBS),在 37 ℃、体积分数 5% CO<sub>2</sub>、相对湿度 90% 的培养箱中培养。取对数生长期的 A2780 及 A2780/T 细胞进行实验。

### 1.3 MTT 法检测 A2780 及 A2780/T 细胞对紫杉醇的敏感性

两种细胞分为对照组(不加紫杉醇)、不同紫杉醇质量浓度(5、10、20、40、80、160、320 ng/mL)处理组。将 A2780 及 A2780/T 细胞按  $10 \times 10^4$  mL<sup>-1</sup> 稀释,以 200  $\mu$ L/孔接种于 96 孔板,培养 12 h,按分组分别加入紫杉醇培养 48 h,空白组加入同等剂量的不含血清的培养基,每个浓度设 4 复孔。每孔加入 5 mg/mL MTT 20  $\mu$ L,培养 4 h 后加入 0.2 mL/孔二甲基亚砜(DMSO),振荡 5 min,继续培养 30 min,酶标仪于 570 nm 下检测吸光度(A)值,计算细胞生长抑制率(inhibition rate, IR),  $IR = (1 - A_{\text{实验组}} / A_{\text{对照组}}) \times 100\%$ 。绘制抑制率曲线,计算紫杉醇对细胞的半数抑制浓度( $IC_{50}$ )。每组实验重复 3 次。并根据《抗肿瘤药物通用指标》<sup>[6]</sup>,选择紫杉醇处理后,A2780 细胞  $IR > 30\%$  为敏感细胞,A2780/T 细胞的  $IR < 30\%$  为耐药细胞。

### 1.4 实时荧光定量 PCR(RT-qPCR)检测紫杉醇对 A2780 及 A2780/T 细胞 XIAP mRNA 表达的影响

采用 RT-qPCR 检测 XIAP mRNA 的表达。

A2780 细胞及 A2780/T 细胞分为不加紫杉醇的对照组和加紫杉醇(按 1.3 篮选的对 A2780 细胞敏感及对 A2780/T 细胞耐药的质量浓度)的处理组,培养 48 h, 收集各组细胞, 采用 TRlzel 法提取各组细胞 RNA, 按试剂盒说明书进行反转录合成 cDNA。XIAP 基因 DNA 序列查询于 NCBI 人类基因组数据库, 引物由上海生工生物工程有限公司设计, 由 Invitrogen 公司合成, XIAP 上、下游引物分别为: 5'-CGAGGAACCCCTGCCATGTAT-3' 和 5'-TGAC CAGGCACGATCACAAAG-3', 人  $\beta$ -actin 内参引物由上海生工生物工程有限公司设计合成, 上、下游引物分别为: 5'-CTGGGACGA CATGGAGAAAA-3' 和 5'-AAGGAAGGGCTGGAAGAGTC-3'。反应管置于 RT-qPCR 反应仪中, 反应体系: 18  $\mu$ L, 反应条件: 95 °C, 2 min, 热循环参数: 95 °C, 15 s, 60 °C, 1 min, 40 个循环, 绘制熔解曲线。每组重复 3 次。实验结果以  $2^{-\Delta\Delta Ct}$  表示, 以对照组值为 1, 计算 A2780 及 A2780/T 的 mRNA 相对表达量。

### 1.5 Western blot 检测紫杉醇对 A2780 及 A2780/T 细胞 XIAP 蛋白表达的影响

分组处理同 1.4。培养 48 h 后, 收集各组细胞, 提取各组细胞蛋白, 按照 BCA 蛋白浓度测定试剂盒测定蛋白浓度, 用 SDS-PAGE 凝胶电泳分离后, 转移到 PVDF 膜上, 以含 5% 脱脂奶粉溶液封闭后, 一抗稀释比 1:1 000, 4 °C 过夜, 二抗(山羊抗兔/鼠 IgG)稀释比 1:3 000 室温孵育 1 h。ECL 化学发光并采用 Quantity one 4.62 凝胶定量图像分析系统分析条带面积积分光密度值。以 XIAP/ $\beta$ -actin 面积积分光密度的比值为 XIAP 蛋白表达的相对含量。

### 1.6 RT-qPCR 及 Western blot 检测 siRNA 干扰对 A2780/T 细胞 XIAP mRNA 及蛋白水平表达的影响

将 A2780/T 细胞分为空转染组(转染空载体质粒)、siRNA-XIAP 组(转染 siRNA-XIAP 质粒)、非特异性转染组(转染非特异性质粒)、空白对照组(不转染质粒)。取  $10 \times 10^4$  mL<sup>-1</sup> A2780/T 细胞分别置于脂质体 Lipo2000 和空载体质粒、siRNA-XIAP 质粒、非特异性质粒混合液及含血清的培养基中培养 48 h 然后同 1.4 和 1.5 方法用 RT-qPCR 及 Western blot 检测各组 XIAP mRNA 及蛋白水平的表达。

### 1.7 流式细胞技术检测 siRNA 干扰后紫杉醇对 A2780/T 细胞凋亡的影响

A2780/T 细胞按 1.6 分组处理并培养 24 h 后, 再加入含不同质量浓度的紫杉醇(0、1 000、1 500、2 000、2 500 ng/mL), 经过预实验, 耐药细胞在较低紫杉醇质量浓度下的凋亡率本身较低, 故选择较高质量浓度的紫杉醇, 以 500 ng/mL 为梯度)培养液置于 6 孔板培养细胞, 分别于 48 h、72 h 时用胰酶消化后收集细胞, 用 PBS 洗涤 2 次, 加入 Annexin V-FITC/PI 试剂, 避光 5~15 min, 用流式细胞仪检测细胞凋亡率。

### 1.8 统计学方法

计量资料数据以  $\bar{x} \pm s$  表示, 多组间比较采用单因素方差分析, 组间两两比较采用 LSD-t 检验,  $P < 0.05$  为差异有统计学意义。

## 2 结果

### 2.1 MTT 法检测 A2780 及 A2780/T 细胞对紫杉醇的敏感性

见图 1。A2780 细胞除外 5、10 ng/mL 紫杉醇处理组外, 其余各组间 IR 比较, 差异均有统计学意义( $P < 0.05$ ), 紫杉醇质量浓度越大, 对 A2780 细胞的 IR 越高, 说明 A2780 细胞对紫杉醇敏感, 紫杉醇对 A2780 细胞的  $IC_{50}$  为 111.56 ng/mL。而紫杉醇处理 A2780/T 细胞后, 与对照组比较, 不同质量浓度紫杉醇处理组的 IR 差异均无统计学意义( $P > 0.05$ ), 说明此质量浓度范围内的紫杉醇对 A2780/T 细胞无抑制作用, A2780 细胞对紫杉醇耐药。后续实验选择紫杉醇质量浓度 100 ng/mL, 在该质量浓度下, A2780 细胞  $IR > 30\%$ (敏感细胞), A2780/T 细胞  $IR < 30\%$ (耐药细胞)。

### 2.2 紫杉醇对 A2780 及 A2780/T 细胞 XIAP mRNA 和蛋白表达的影响

RT-qPCR 结果显示, 紫杉醇 100 ng/mL 处理 A2780 和 A2780/T 细胞后, A2780 细胞 XIAP mRNA 的表达低于紫杉醇未处理组, 差异有统计学意义( $P < 0.05$ ); A2780/T 细胞中 XIAP mRNA 的表达与紫杉醇未处理组差异无统计学意义( $P > 0.05$ ), 但紫杉醇 A2780/T 组 XIAP mRNA 的表达较 A2780 紫杉醇组高( $P < 0.05$ ), 即紫杉醇耐药细胞 XIAP mRNA 的表达高于敏感细胞(表 1)。

Western blot 结果显示, 紫杉醇 100 ng/mL 处理两种细胞后, A2780/T 紫杉醇处理组 XIAP 蛋白表达高于 A2780 紫杉醇处理组( $P < 0.05$ ), 见图 2 和表 1。

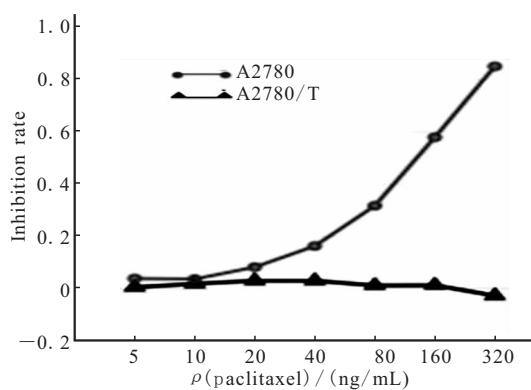


图1 不同质量浓度紫杉醇处理下A2780、A2780/T细胞的抑制率

Fig 1 The inhibition rate of A2780 and A2780/T cells after treatment with paclitaxel at different concentrations

表1 A2780和A2780/T细胞紫杉醇处理前、后XIAP mRNA和蛋白的相对表达

Table 1 The relative expression of XIAP mRNA and protein in A2780 and A2780/T cells before and after the treatment with paclitaxel

Group	n	XIAP mRNA	XIAP protein
A2780	3	1.000±0.013	0.4989±0.0564
A2780+TAX	3	0.626±0.143*	0.4433±0.0457*
A2780/T	3	1.018±0.244	0.9771±0.1142
A2780/T+TAX	3	0.780±0.168#	0.6989±0.0153#

\*P<0.05, vs. A2780 group; #P<0.05, vs. A2780+TAX group

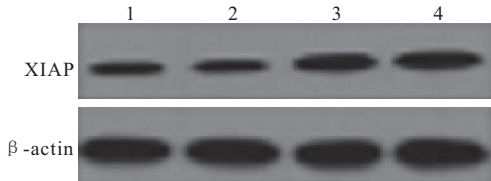


图2 紫杉醇处理前后A2780、A2780/T细胞XIAP蛋白的表达

Fig 2 The expression of XIAP protein in A2780 and A2780/T cells before and after the treatment with paclitaxel

1: A2780 group; 2: A2780+TAX group; 3: A2780/T group; 4: A2780/T+TAX group

### 2.3 siRNA干扰后A2780/T细胞XIAP mRNA及蛋白的表达

RT-qPCR结果显示, siRNA-XIAP组A2780/T细胞的XIAP mRNA的表达低于空白对照组、空转染组、非特异性转染组, 差异均有统计学意义( $P$ 均<0.05), 见表2。Western blot结果显示, siRNA-XIAP组A2780/T细胞的XIAP蛋白也低于其他3组( $P$ 均<0.05), 见图3、表2。

### 2.4 siRNA干扰后紫杉醇对A2780/T细胞凋亡的影响

见图4。结果显示, 48 h、72 h两个时间点的平

表2 siRNA干扰前后A2780/T细胞XIAP mRNA和蛋白的相对表达

Table 2 The relative expression of XIAP mRNA and protein in A2780/T cells after the transfection of siRNA

Group	n	XIAP mRNA	XIAP protein
Blank	3	1.020±0.234	1.0148±0.0690
Empty	3	0.972±0.193	1.1505±0.1520
siRNA-XIAP	3	0.076±0.012*	0.7469±0.1380*
siRNA-non-specific	3	1.034±0.108	0.9617±0.1300

\*P<0.05, vs. other groups

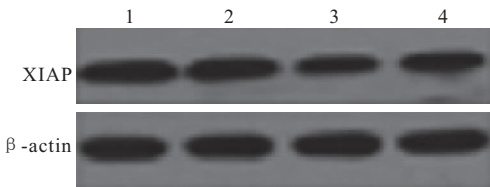


图3 siRNA处理卵巢癌紫杉醇耐药细胞后XIAP蛋白的表达

Fig 3 The expression of XIAP protein in A2780/T cells after the transfection of siRNA

1: Blank group; 2: Empty group; 3: siRNA-XIAP group; 4: siRNA-non-specific group

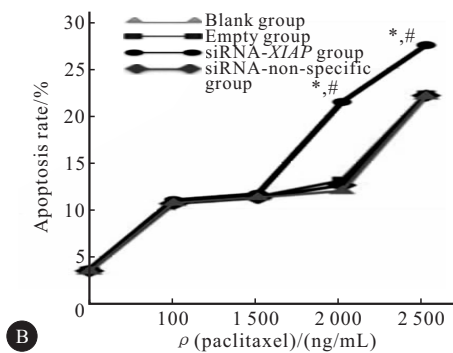
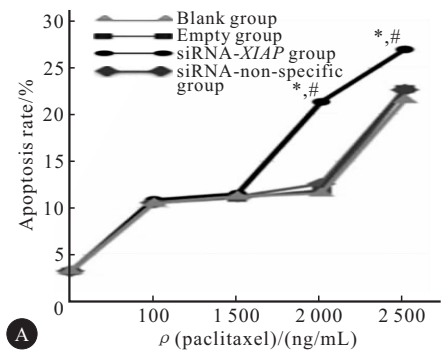


图4 不同紫杉醇质量浓度处理后各组A2780/T细胞在48 h(A)和72 h(B)的凋亡率

Fig 4 The apoptosis rate of four groups A2780/T cells after treatment with paclitaxel at different concentrations for 48 h (A) and 72 h (B)

\*P<0.05, vs. different concentrations of paclitaxel in the same group for 48 h (A) and 72 h (B), respectively; #P<0.05, vs. other groups at the same concentrations of paclitaxel for 48 h (A) and 72 h (B), respectively

均凋亡率在紫杉醇 0~1 500 ng/mL 时各转染组差异均无统计学意义 ( $P>0.05$ )，在紫杉醇 2 000、2 500 ng/mL 作用下，siRNA-XIAP 组凋亡率迅速升高，与 siRNA-XIAP 组内紫杉醇 0~1 500 ng/mL 作用比较差异有统计学意义 ( $P<0.05$ )，与相同紫杉醇质量浓度作用下的其他各转染组比较，差异也有统计学意义 ( $P<0.05$ )，其余 3 转染组在相同紫杉醇质量浓度作用下凋亡率差异均无统计学意义 ( $P>0.05$ )。

### 3 讨论

XIAP 在卵巢癌耐药方面的研究发现，体内 miR-509-3p<sup>[5]</sup> 及 miR-215<sup>[7]</sup> 等可下调卵巢癌细胞 XIAP 的表达，抑制癌细胞增殖，增加化疗药物的敏感性，XIAP 在卵巢癌化疗耐药中起到重要作用，是关键因素之一。张虹等<sup>[8]</sup> 在体外培养的卵巢癌细胞中外源性增加 XIAP 功能片段表达水平，最终在一定程度上增加了卵巢癌细胞对顺铂的耐药性。在本研究中，分别以 5、10、20、40、80、160、320 ng/mL 紫杉醇作用于 A2780 及 A2780/T 细胞，MTT 法检测结果显示 A2780 对紫杉醇敏感，质量浓度在 20 ng/mL 以上可抑制 A2780 细胞生长，而对 A2780/T 细胞无明显影响。RT-qPCR 及 Western blot 检测卵巢癌敏感细胞及耐药细胞 XIAP 表达，结果显示，A2780/T 细胞 XIAP mRNA 及蛋白水平的表达均高于 A2780 细胞，提示卵巢癌细胞对紫杉醇的耐药性和 XIAP 的高表达有关。

近期 MA 等<sup>[9]</sup> 利用 siRNA 技术下调卵巢癌细胞 XIAP 的高表达，成功促使细胞凋亡并逆转了卵巢癌铂类耐药。本研究利用 siRNA 技术干扰卵巢癌耐药细胞 A2780/T 的 XIAP 表达，结果显示空转染组、非特异性转染组分别与空白对照组比较，XIAP mRNA 及蛋白表达差异均无统计学意义 ( $P>0.05$ )，而 siRNA-XIAP 组 XIAP mRNA 及蛋白表达较其他 3 组降低 ( $P<0.05$ )，该结果表明特异性 siRNA 对 XIAP 的表达起到干扰作用，能够特异性降低 XIAP 基因的高表达。另外，经 siRNA 处理后的 A2780/T 细胞凋亡结果显示，siRNA-XIAP 组凋亡率较其他 3 组升高 ( $P<0.05$ )。结果表明，XIAP 的表达与细胞凋亡率具有反向一致性，XIAP 表达越高，凋亡率越低，反之亦然，而凋亡率是细胞紫杉醇敏感及耐药性的反应，细胞凋亡率越高，则紫杉醇越敏感，耐药性越低。而 siRNA 技术通过降低 XIAP 表达增加了卵巢癌耐药细胞的凋亡率，即增加了卵巢癌耐药细胞对紫杉醇的敏感性，一定程度上改变了 A2780/T 细胞的耐药性。

综上，人卵巢癌对紫杉醇耐药性的形成与 XIAP 基因的高表达有关。特异性 siRNA 可通过降低卵巢癌紫杉醇耐药细胞 XIAP 基因的表达，促进细胞凋亡，增加耐药细胞对紫杉醇的敏感性。XIAP 基因与卵巢癌相关，可作为紫杉醇耐药性卵巢癌潜在的治疗靶点，下调 XIAP 表达水平并联合化疗，可能是一条治疗耐药性卵巢癌可行、有效的新路径，而要真正达到精准治疗，还需长足的研究。

随着分子生物学技术的发展，关于肿瘤的病因及发病机制研究已深入到基因分子水平，肿瘤被认为是一种“基因组”疾病。XIAP 基因在肿瘤化疔耐药中有重要作用。siRNA 干扰技术是沉默基因表达的有效手段，能够有效沉默在肿瘤发生发展中发挥重要作用的基因，从而抑制肿瘤生长。本研究进一步明确了 XIAP 基因在卵巢癌紫杉醇耐药发生中的作用，并同时研究了 siRNA 干扰技术对于 XIAP 基因的下调作用，为基因联合化疔在紫杉醇耐药卵巢癌的治疗中奠定了一定的基础，有望为耐药性卵巢癌的治疗提供理论依据。

### 参 考 文 献

- [1] CLARKE-PEARSON DL. Screening for ovarian cancer. *N Engl J Med*, 2009, 361(2):170-177.
- [2] CHIEN JR, ALETTI G, BELL DA, et al. Molecular pathogenesis and therapeutic targets in epithelial ovarian cancer. *J Cell Biochem*, 2007, 102(5):1117-1129.
- [3] CHAUDHARY AK, YADAV N, BHAT TA, et al. A potential role of X-linked inhibitor of apoptosis protein in mitochondrial membrane permeabilization and its implication in cancer therapy. *Drug Discov Today*, 2016, 21(1):38-47.
- [4] SCHIMMER AD, DALILI S, BATEY RA, et al. Targeting XIAP for the treatment of malignancy. *Cell Death Differ*, 2006, 13(2):179-188.
- [5] CHEN W, ZENG WS, LI X, et al. MicroRNA-509-3p increases the sensitivity of epithelial ovarian cancer cells to cisplatin-induced apoptosis. *Pharmacogenomics*, 2016, 17(3):187-197.
- [6] 谢 诚, 钱美英, 缪丽燕. MTT 法测定肿瘤细胞药物敏感性与临床用药. 药学与临床研究, 2007, 15(5):393-395.
- [7] GE GQ, ZHANG W, NIU LG, et al. miR-215 functions as a tumor suppressor in epithelial ovarian cancer through regulation of the X-chromosome-linked inhibitor of apoptosis. *Oncol Reports*, 2016, 35(3):1816-1822.
- [8] 张 虹, 谢潇潇. X 连锁凋亡抑制蛋白 cDNA 转染与卵巢癌细胞顺铂耐药性. 国际妇产科学杂志, 2009, 36(4):336-337.
- [9] MA JJ, CHEN BL, XIN XY. XIAP gene downregulation by small interfering RNA inhibits proliferation, induces apoptosis, and reverses the cisplatin resistance of ovarian carcinoma. *Eur J Obstet Gynecol Reprod Biol*, 2009, 146(2):222-226.

(2017-10-12 收稿, 2017-12-07 修回)

编辑 沈进